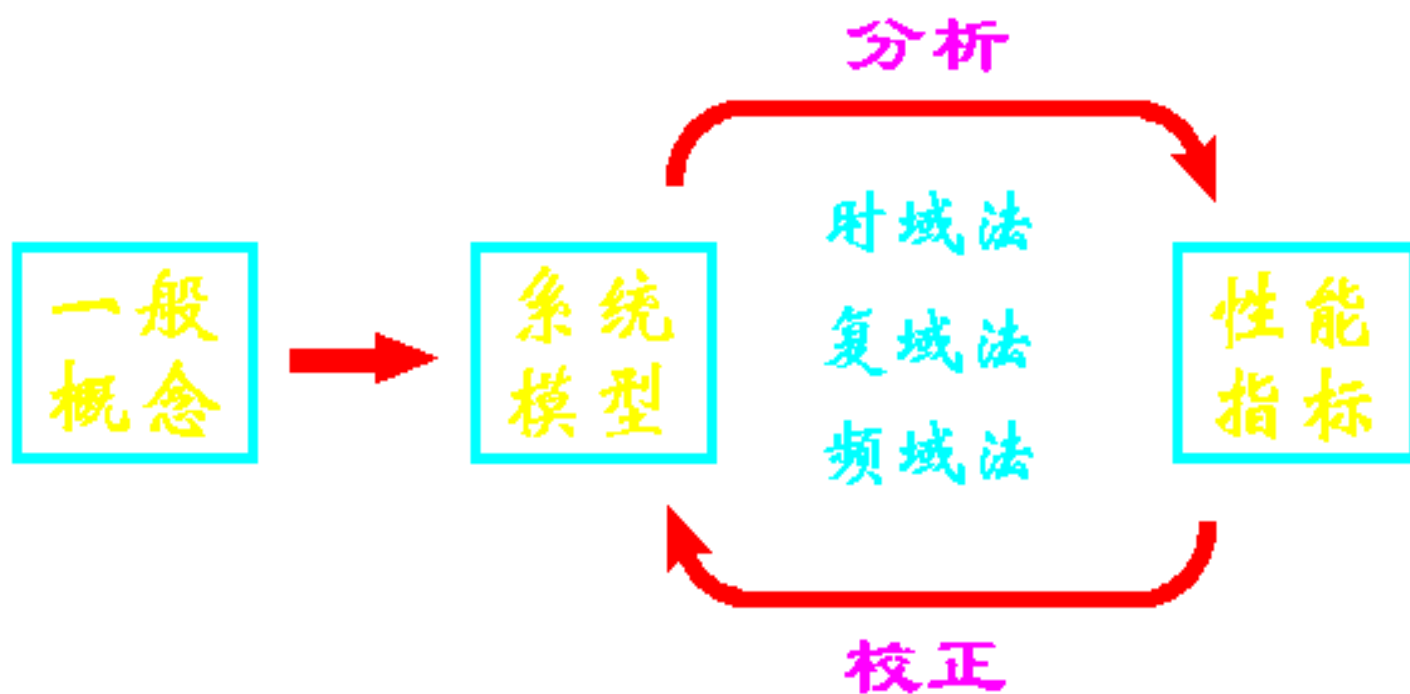




自动控制原理课程的任务与体系结构



课程的体系结构



自动控制原理

(第 13 讲)

§ 4 根轨迹法

§ 4. 1 根轨迹法的基本概念

§ 4. 2 绘制根轨迹的基本法则

§ 4. 3 广义根轨迹

§ 4. 4 利用根轨迹分析系统性能



§ 4 根轨迹法

根轨迹法：三大分析校正方法之一

- 特点：
- (1) 图解方法，直观、形象。
 - (2) 适合于研究当系统中某一参数变化时，系统性能的变化趋势。
 - (3) 近似方法，不十分精确。

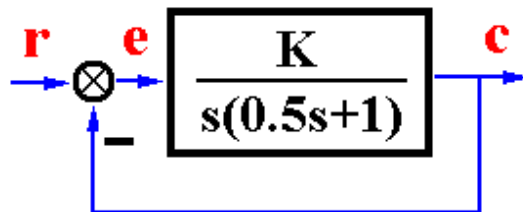
§ 4.1 根轨迹法的基本概念

根轨迹： 系统某一参数由 $0 \rightarrow \infty$ 变化时， λ 在 s 平面相应变化所描绘出来的轨迹。



§ 4.1.1 根 轨 迹

例1 系统结构图如图所示，分析
 λ 随开环增益 K 变化的趋势。



解. $G(s) = \frac{K}{s(0.5s+1)} = \frac{K^* = 2K}{s(s+2)}$

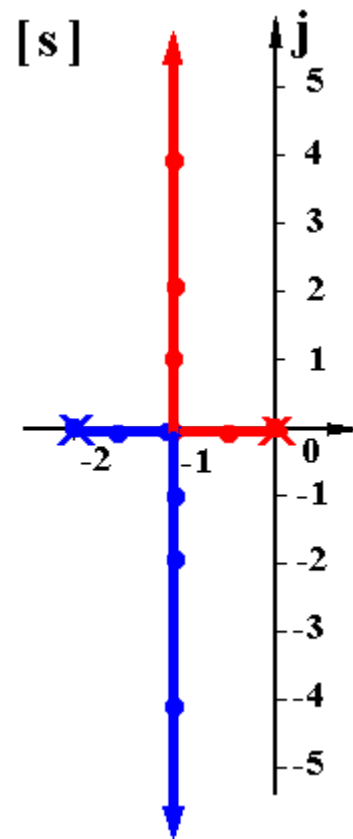
$\begin{cases} K : \text{开环增益} \\ K^* : \text{根轨迹增益} \end{cases}$

$$\Phi(s) = \frac{C(s)}{R(s)} = \frac{K^*}{s^2 + 2s + K^*}$$

$$D(s) = s^2 + 2s + K^* = 0$$

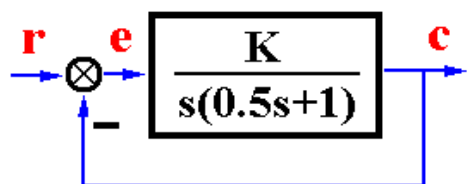
$$\lambda_{1,2} = -1 \pm \sqrt{1 - K^*}$$

$K^*=2K$	λ_1	λ_2
0	0	-2
0.64	-0.4	-1.6
1	-1	-1
2	-1+j1	-1-j1
5	-1+j2	-1-j2
17	-1+j4	-1-j4
\vdots	\vdots	\vdots
∞	$-1+j\infty$	$-1-j\infty$





§ 4.1.2 根轨迹——系统性能



$$D(s) = s^2 + 2s + K^* = 0$$

$$\lambda_{1,2} = -1 \pm \sqrt{1 - K^*}$$

$$K^* = 2K = 0 \quad \xrightarrow{\quad} \quad 1 \quad \xrightarrow{\quad} \quad \infty$$

动态性能	$\xi > 1$	$0 < \xi < 1$
	$\sigma\% = 0$	$\beta \uparrow \Rightarrow \xi \downarrow \Rightarrow \sigma\% \uparrow$
	$t_s \downarrow$	$t_s = \frac{3.5}{\xi \omega_n} \sim$

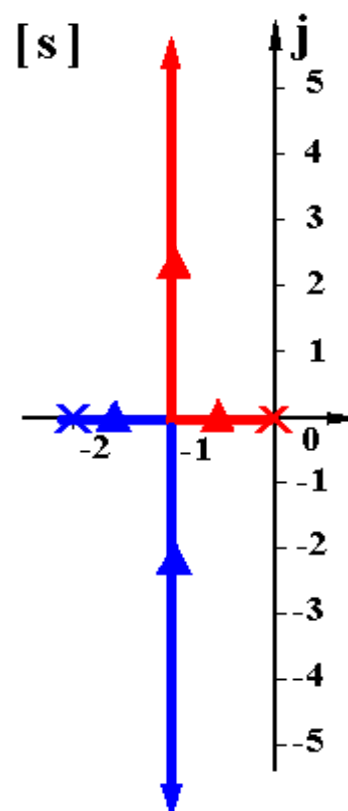
稳定性

$$\text{Re}[\lambda_{1,2}] < 0, \text{ 系统绝对稳定}$$

稳态误差

$$[r(t) = At]$$

$$K^* \uparrow \Rightarrow e_{ss} = \frac{A}{K} = \frac{2A}{K^*} \downarrow$$

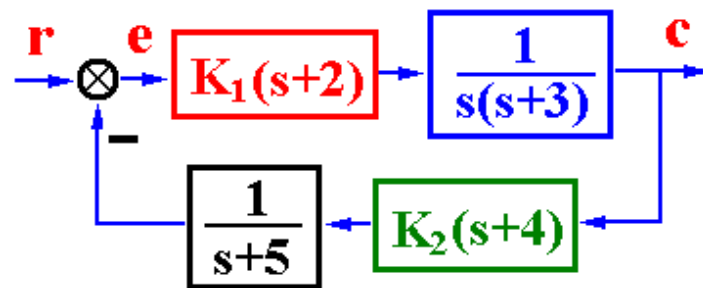




§ 4.1.3 闭环零点与开环零、极点之间的关系

系统结构图如图所示，确定闭环零点

$$G(s) = \frac{K_1 K_2 (s+2)(s+4)}{s(s+3)(s+5)} \quad \begin{cases} K^* = K_1 K_2 \\ K = \frac{8}{15} K_1 K_2 \\ v = 1 \end{cases}$$



$$\Phi(s) = \frac{\frac{K_1(s+2)}{s(s+3)}}{1 + \frac{K_1 K_2 (s+2)(s+4)}{s(s+3)(s+5)}} = \frac{K_1(s+2)(s+5)}{s(s+3)(s+5) + K_1 K_2 (s+2)(s+4)}$$

闭环零点 = 前向通道开环零点 + 反馈通道开环极点

闭环极点与开环零点、开环极点及 K^* 均有关



§ 4.1.4 根轨迹方程 (1)

根轨迹方程及其含义

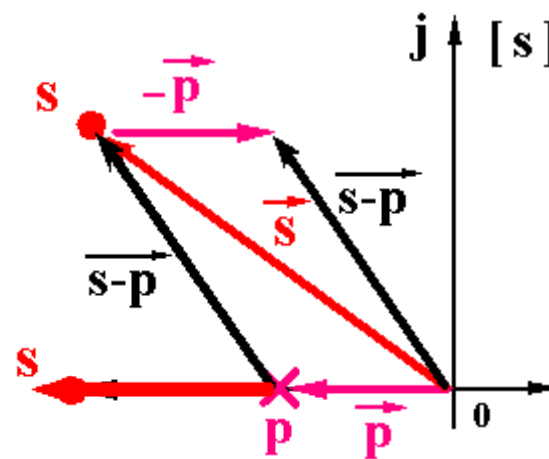
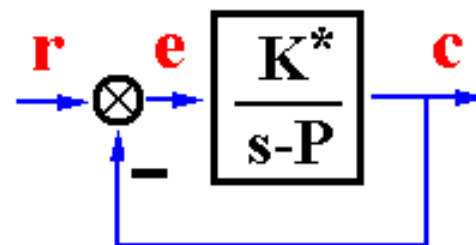
$$G(s) = \frac{K^*}{s - p}$$

$$\Phi(s) = \frac{G(s)}{1 + G(s)}$$

$$1 + G(s) = 0$$

$$G(s) = -1$$

$$\begin{cases} |G(s)| = \frac{K^*}{|s - p|} = 1 \\ \angle G(s) = -\angle(s - p) = (2k + 1)\pi \end{cases}$$





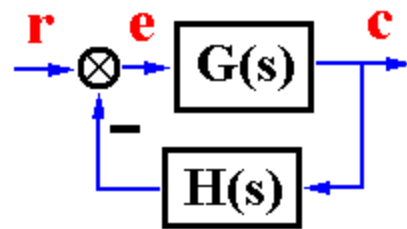
§ 4.1.4 根轨迹方程 (2)

一般情况下

$$G(s)H(s) = \frac{K^* (s - z_1) \cdots (s - z_m)}{(s - p_1)(s - p_2) \cdots (s - p_n)} = \frac{K^* \prod_{i=1}^m (s - z_i)}{\prod_{j=1}^n (s - p_j)}$$

$$\Phi(s) = \frac{G(s)}{1 + G(s)H(s)}$$

$$G(s)H(s) = \frac{K^* (s - z_1) \cdots (s - z_m)}{(s - p_1)(s - p_2) \cdots (s - p_n)} = -1$$



$$K = K^* \frac{\prod_{i=1}^m |z_i|}{\prod_{j=1}^n |p_j|}$$

$$|G(s)H(s)| = \frac{K^* |s - z_1| \cdots |s - z_m|}{|s - p_1| |s - p_2| \cdots |s - p_n|} = K^* \frac{\prod_{i=1}^m |(s - z_i)|}{\prod_{j=1}^n |(s - p_j)|} = 1$$

— 模值条件

$$\angle G(s)H(s) = \sum_{i=1}^m \angle(s - z_i) - \sum_{j=1}^n \angle(s - p_j) = (2k + 1)\pi$$

— 相角条件



§ 4.1.4

根軌跡

$$|G(s)H(s)| = \frac{K^* |s - z_1| L |s - z_m|}{|s - p_1| |s - p_2| L |s - p_n|} = K^* \frac{\prod_{i=1}^m |(s - z_i)|}{\prod_{j=1}^n |(s - p_j)|} = 1$$

$$\angle G(s)H(s) = \sum_{i=1}^m \angle(s - z_i) - \sum_{j=1}^n \angle(s - p_j) = (2k + 1)\pi$$

例2 判定 s_i 是否为根轨迹上的点。

解. $G(s) = \frac{K^*}{(s+1)(s+5)}$

模值条件 $K^* = |s+1| |s+5|$

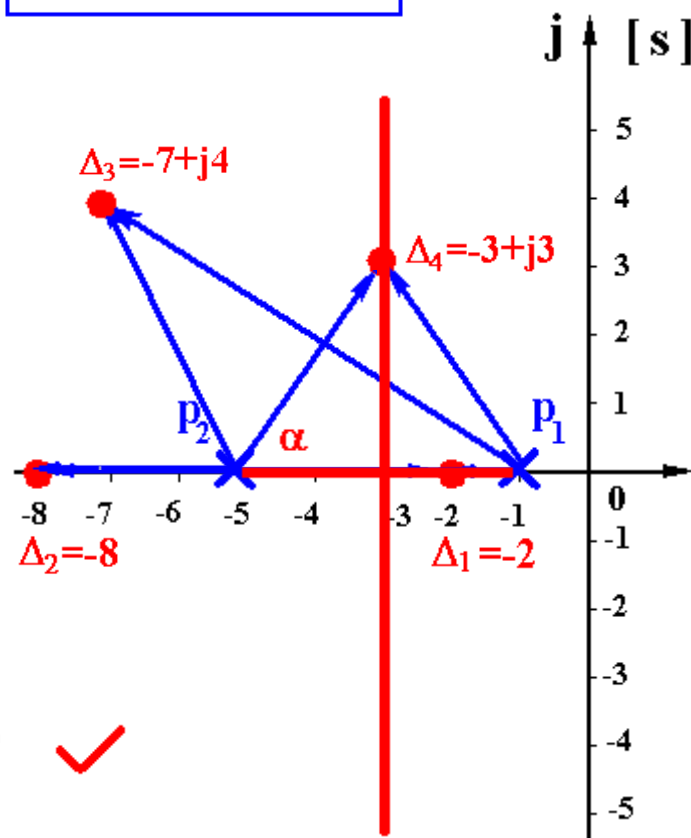
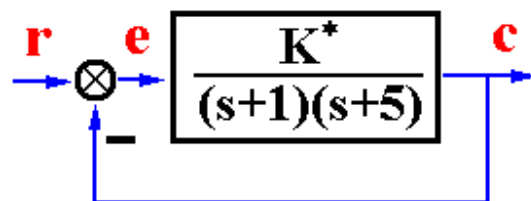
相角条件 $-\angle s - p_1 - \angle s - p_2 = (2k+1)\pi$

$\Delta_1 = -2 \begin{cases} K_{\Delta_1}^* = |-2+1| |-2+5| = 3 \\ -\angle -2+1 - \angle -2+5 = -180 - 0 = -180 \end{cases} \quad \checkmark$

$\Delta_2 = -8 \begin{cases} K_{\Delta_2}^* = |-8+1| |-8+5| = 21 \\ -\angle -8+1 - \angle -8+5 = -180 - 180 = -360 \end{cases} \quad \times$

$\Delta_3 = -7+j4 \begin{cases} K_{\Delta_3}^* = |-7+j4+1| |-7+j4+5| \\ = \sqrt{6^2+4^2} \cdot \sqrt{2^2+4^2} = 32.25 \\ -\angle -7+j4+1 - \angle -7+j4+5 \neq (2k+1)\pi \end{cases} \quad \times$

$\Delta_4 = -3+j3 \begin{cases} K_{\Delta_4}^* = |-3+j3+1| |-3+j3+5| = \sqrt{2^2+3^2} \cdot \sqrt{2^2+3^2} = 13 \\ -\angle -3+j3+1 - \angle -3+j3+5 = -(180-\alpha) - \alpha = -180 \end{cases} \quad \checkmark$





§ 4.1.4 根轨迹方程 (4)

- 对s平面上任意的点，总存在一个 K^* ，使其满足模值条件，但该点不一定是根轨迹上的点。
- s平面上满足相角条件的点（必定满足模值条件）一定在根轨迹上。

满足相角条件是s点位于根轨迹上的充分必要条件。

- 根轨迹上某点对应的 K^* 值，应由模值条件来确定。



§ 4.2 绘制根轨迹

$$|G(s)H(s)| = \frac{K^* |s - z_1| L |s - z_m|}{|s - p_1| |s - p_2| L |s - p_n|} = K^* \frac{\prod_{i=1}^m |(s - z_i)|}{\prod_{j=1}^n |(s - p_j)|} = 1$$

$$\angle G(s)H(s) = \sum_{i=1}^m \angle(s - z_i) - \sum_{j=1}^n \angle(s - p_j) = (2k + 1)\pi$$

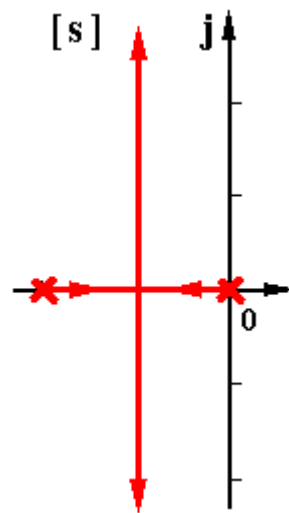
法则1 根轨迹的起点和终点：

根轨迹起始于开环极点，终止于开环零点；如果开环极点个数 n 大于开环零点个数 m ，则有 $n - m$ 条根轨迹终止于无穷远处。

$$K^* = \frac{|s - p_1| \cdots |s - p_n|}{|s - z_1| \cdots |s - z_m|} = \frac{s^{n-m} \left|1 - \frac{p_1}{s}\right| \cdots \left|1 - \frac{p_n}{s}\right|}{\left|1 - \frac{z_1}{s}\right| \cdots \left|1 - \frac{z_m}{s}\right|} = 0 \quad s = p_i \quad i = 1, 2, \cdots n$$

$$K^* = \frac{|s - p_1| \cdots |s - p_n|}{|s - z_1| \cdots |s - z_m|} = \frac{s^{n-m} \left|1 - \frac{p_1}{s}\right| \cdots \left|1 - \frac{p_n}{s}\right|}{\left|1 - \frac{z_1}{s}\right| \cdots \left|1 - \frac{z_m}{s}\right|} = \infty \quad \begin{cases} s = z_j \\ s = \infty \end{cases}$$

$j = 1, 2, \cdots m$





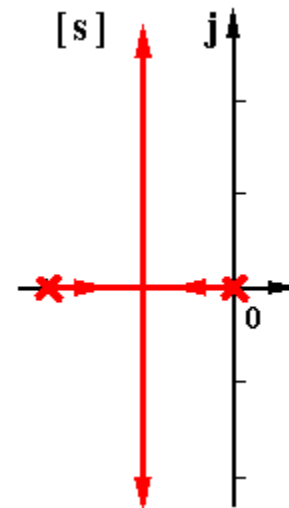
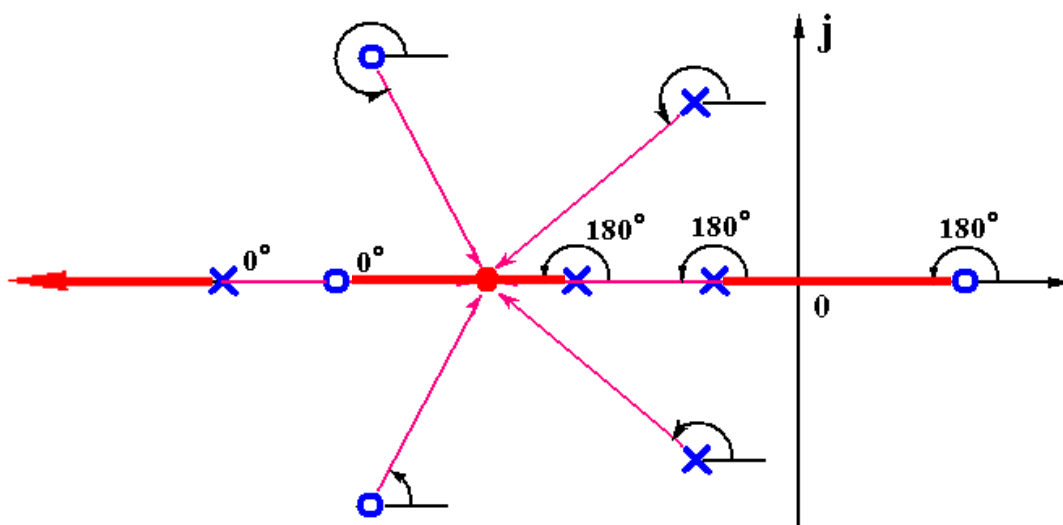
§ 4.2 绘制根轨迹的基本法则 (2)

法则2 根轨迹的分支数，对称性和连续性：

根轨迹的分支数=开环极点数；根轨迹连续且对称于实轴。

法则3 实轴上的根轨迹：

从实轴上最右端的开环零、极点算起，奇数开环零、极点到偶数开环零、极点之间的区域必是根轨迹。





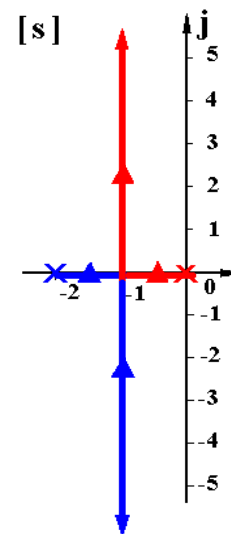
§ 4.2 绘制根轨迹的基本法则 (3)

法则4 根之和: $\sum_{i=1}^n \lambda_i = C \quad (n-m \geq 2)$

$n-m \geq 2$ 时, 闭环根之和保持一个常值。

证明:
$$GH(s) = \frac{K^* (s - z_1) \cdots (s - z_m)}{(s - p_1) \cdots (s - p_n)} = \frac{K^* (s^m + b_{m-1}s^{m-1} + \cdots + b_0)}{s^n + a_{n-1}s^{n-1} + \cdots + a_0}$$

由代数定理:
$$-a_{n-1} = \sum_{i=1}^n p_i = \sum_{i=1}^n \lambda_i = -a_{n-1} = C$$



$$\begin{aligned} D(s) &= s^n + a_{n-1}s^{n-1} + a_{n-2}s^{n-2} + a_{n-3}s^{n-3} + \cdots + a_0 \\ &\quad + K^*s^{n-2} + K^*b_{n-3}s^{n-3} + \cdots + K^*b_0 \\ \hline &= s^n + a_{n-1}s^{n-1} + (a_{n-2} + K^*)s^{n-2} + (a_{n-3} + K^*b_{n-3})s^{n-3} + \cdots + (a_0 + K^*b_0) \\ D(s) &= (s - \lambda_1)(s - \lambda_2) \cdots (s - \lambda_n) = 0 \end{aligned}$$

$n-m \geq 2$ 时, 一部分根左移, 另一部分根必右移, 且移动总量为零。



§ 4.2 绘制根轨迹的基本法则 (4)

例3 某单位反馈系统的开环传递函数为 $G(s) = \frac{K^*(s+2)}{s(s+1)}$

$K^* = 0 \rightarrow \infty$ ，证明复平面的根轨迹为圆弧。

$$G(s) = \frac{K^*(s+2)}{s(s+1)} \quad \begin{cases} K = 2K^* \\ v = 1 \end{cases}$$

$$D(s) = s(s+1) + K^*(s+2) = s^2 + (1+K^*)s + 2K^*$$

$$s_{1,2} = \frac{-(1+K^*) \pm \sqrt{(1+K^*)^2 - 8K^*}}{2}$$

$$= \frac{-(1+K^*)}{2} \pm j \frac{\sqrt{8K^* - (1+K^*)^2}}{2} = \sigma \pm j\omega$$

$$\sigma = \frac{-(1+K^*)}{2} \Rightarrow K^* = -2\sigma - 1$$

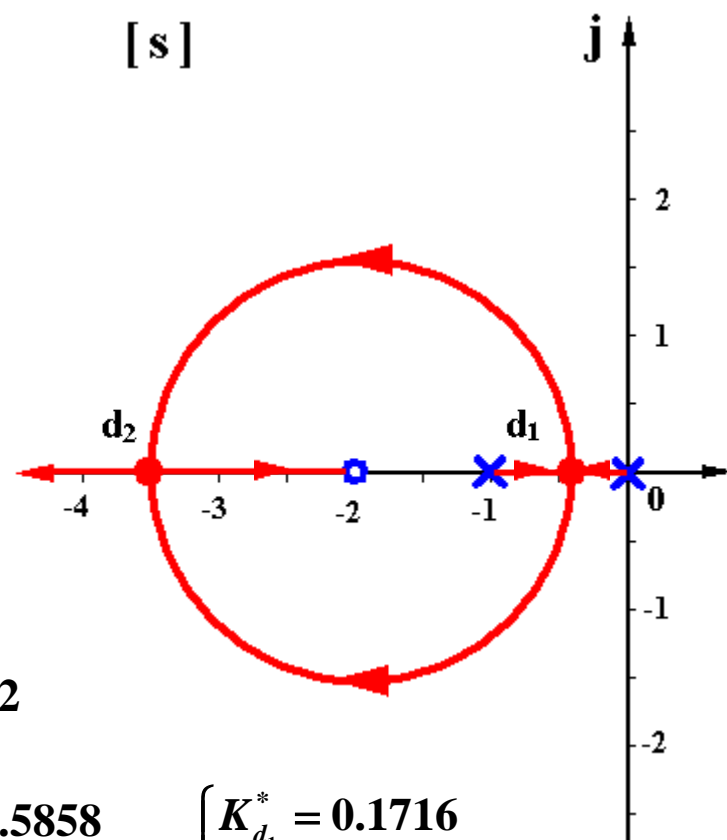
$$\omega^2 = \frac{8K^* - (1+K^*)^2}{4} = \frac{-8(2\sigma+1) - 4\sigma^2}{4} = -\sigma^2 - 4\sigma - 2$$

$$\sigma^2 + 4\sigma + 4 + \omega^2 = 2 \quad (\sigma+2)^2 + \omega^2 = \sqrt{2}^2$$

$$\Delta = (1+K^*)^2 - 8K^* = K^{*2} - 6K^* + 1 = 0$$

$$\begin{cases} d_1 = -0.5858 \\ d_2 = -3.4142 \end{cases}$$

$$\begin{cases} K_{d_1}^* = 0.1716 \\ K_{d_2}^* = 5.828 \end{cases}$$

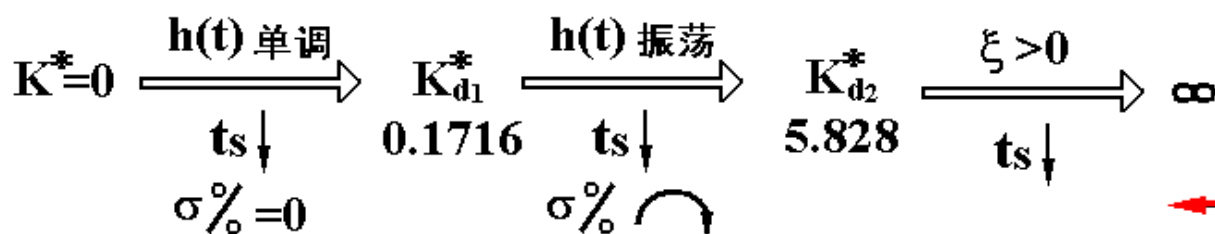




§ 4.2 绘制根轨迹的基本法则 (5)

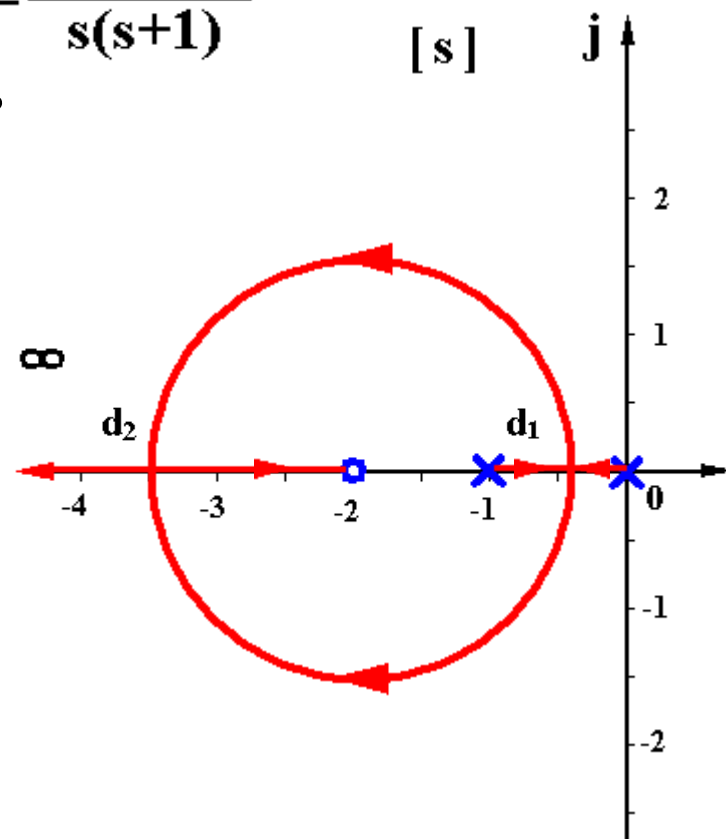
例3 某单位反馈系统的开环传递函数为 $G(s) = \frac{K^*(s+2)}{s(s+1)}$
 $K^*=0 \rightarrow \infty$, 证明复平面的根轨迹为圆弧。

系统性能分析



系统绝对稳定

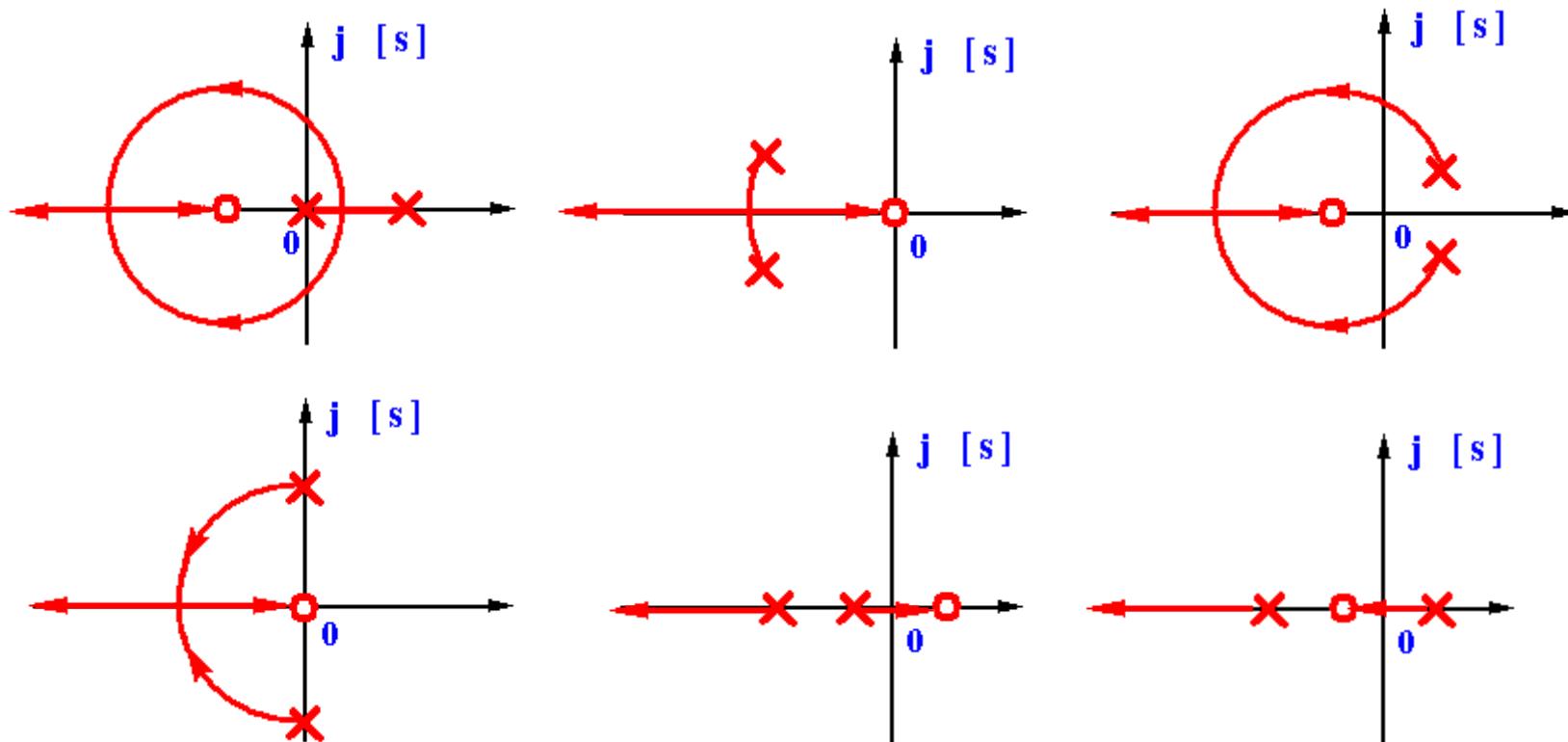
$$K^* \uparrow \Rightarrow e_{ss} \xrightarrow{r(t)=t} \frac{A}{K} = \frac{1}{2K^*} \downarrow$$





§ 4.2 绘制根轨迹的基本法则 (6)

定理：若系统有2个开环极点，1个开环零点，且在复平面存在根轨迹，则复平面的根轨迹一定是以该零点为圆心的圆弧。





课程小结

§ 4.1 根轨迹法的基本概念

根轨迹

闭环零点与开环零极点之间的关系

根轨迹方程

§ 4.2 绘制根轨迹的基本法则

法则1 根轨迹的起点和终点

法则2 根轨迹的分支数，对称性和连续性

法则3 实轴上的根轨迹

法则4 根之和

两个开环极点，一个开环零点时根轨迹的绘制